

ANALÝZA NADMERNÝCH VIBRÁCIÍ OCEĽOVEJ KONŠTRUKCIE OBJEKTU TALCUM RUDNÉ BANE HNUŠTA

Doc.Ing. Jozef Hörmann,CSc., Ing. Jarmila Lipková,CSc.,
Ing. Štefan Mrva, Elektrotechnická fakulta SVŠT

1 Úvod

Vybudovanie výrobného objektu 002 TALCUM, Rudné bane Hnušta si vyžiadala potreba spracovania mastenca (chemické zloženie $3 \text{ MgO} \cdot 4 \text{ SiO}_2 \cdot 4 \text{ H}_2\text{O}$, hustota $2,6 \text{ t m}^{-3}$) z domácich zdrojov (Hnušta) i zo zahraničia (Čína, Južná Korea). Objekt tvorí ocelová konštrukcia s obvodovými stenami vyplnenými murivom. Po dobudovaní objektu a spustení výroby sa zistilo, že vibrácie ocelovej konštrukcie lokalizované v priestore uloženia strojnej technológie sú tak vysoké že nedovolujú výrobu podľa plánovaných parametrov. V týchto fázach nebolo jasné do akej miery na negatívnych dôsledkoch sa podielajú nevývažky rotujúcich častí strojov, nedostatočný výpočet a návrh ocelovej konštrukcie ako i rezonančné javy pri kmitaní nosných prvkov.

2 Súčasný stav

Základné rozmery ocelovej konštrukcie sú:

- dĺžka 34 500 mm
- šírka 27 000 mm
- výška 22 350 mm

Kotvenie ocelovej konštrukcie podľa úsekov v smere :

dĺžky	šírky	
(1 - 2)	6 000mm (A - B)	14 500 mm
(2 - 3)	6 000mm (B - C)	14 500 mm
(3 - 4)	4 500mm (C - D)	14 500 mm
(4 - 5)	6 000mm (D - E)	14 500 mm
(5 - 6)	6 000mm (E - F)	14 500 mm
(6 - 7)	6 000mm (F - G)	14 500 mm

V kotviacom poli [(3-4) x (B-C)] sa na kóte + 2 100 mm (od úrovni podlahy) nachádza nosná plošina na ktorej je uložený kladivový mlyn (typ 21 42) s príslušenstvom a na úrovni + 4 600 mm nosná plošina na ktorej je uložený dynamický vibračný triedič (typ EDT 800 x 2 000). V kotviacom poli [(3-4)x x (E-F)] sa na kóte + 3 200 mm nachádza nosná plošina na ktorej je uložený kladivový drvíč (typ 11 13) s náhonom a ostatným príslušenstvom.

Skutočné hodnoty parametrov nadmerných vibrácií sa zistili meraním v kritických miestach na technologickej zariadení i na nosných prvkoch ocelovej konštrukcie. Merali sa hodnoty výchyliek, rýchlosťi a zrýchlení vo vertikálnom smere a v niektorých bodech súčasne aj v horizontálnom smere. Miesta merania sú vyznačené v schémach na obrázku 1 (nosná plošina + 2 100 mm) a na obrázku 2 (nosná plošina + 3 200 mm). Merania sa realizovali vo frekvenčných pásmach (Hz) :

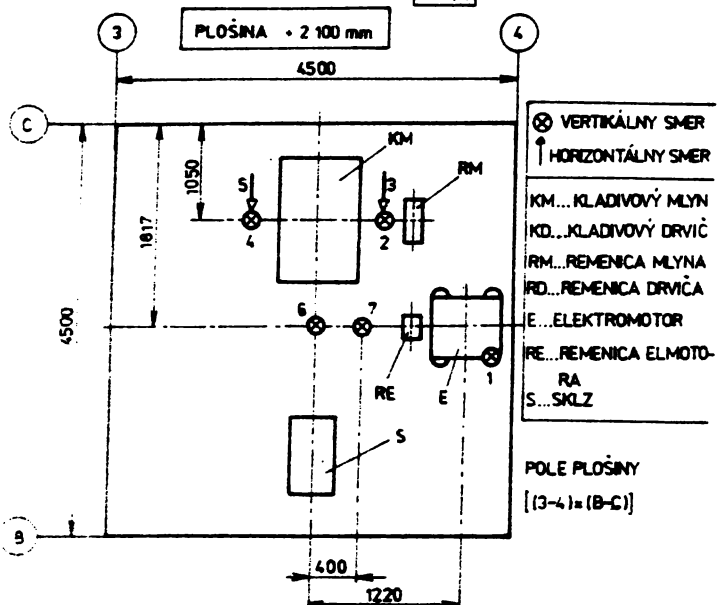
5	6,3	8	10	12,5	16	20	25	31	40	50
	63	80	100	125	160	200	250	315	400	500
	630	800	1000							

3 Výsledky meraní a analýza príčin nadmerných vibrácií

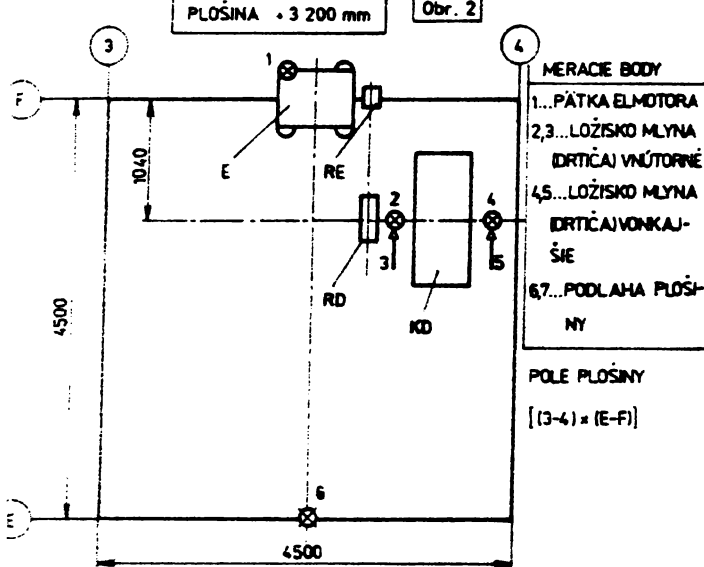
V tomto krátkom príspevku nie je možné uviesť všetky súvislosti, matematické formulácie a potrebné podklady na základe ktorých sa doporučil ďalší postup pri odstránovaní nedostatkov. V tabuľke 1 uvádzame hodnoty zrýchlenia a ($m s^{-2}$) rýchlosťi v ($m s^{-1} \cdot 10^{-3}$) a výchylinky y ($mm \cdot 10^{-3}$) namerané iba v bode 2 na plošine + 3 200 mm, tj. vo vertikálnom smere na vnútornom ložisku kladivového drvíča v závislosti na hore uvedených frekvenčných pásmach.

Na obrázku 3 sú znázormené hodnoty zrýchlení snímané na tom istom ložisku vo vertikálnom smere (2) ale aj v horizontálnom smere (3). Z tohto obrázku vidieť, že v intervale cca 600 až 1 700 Hz sú veľkosti zrýchlení väčšie v horizontálnom smere. V ostatných frekvenčných pásmach prevažujú veľkosti zrýchlení vo vertikálnom smere.

Obr. 1



Obr. 2



Tabuľka 1

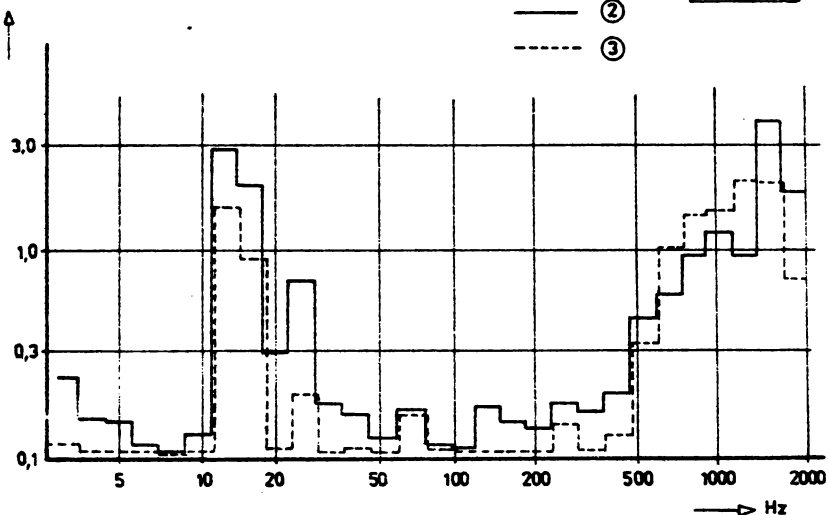
	5	6,3	8	10	12,5	16	20	
2	$a \text{ m s}^{-2}$	0,15	0,11	0,1	0,13	3	2	0,32
	$v \text{ m s}^{-1} \cdot 10^{-3}$	4,8	2,8	2	2	38	20	2,5
	$y \text{ mm} \cdot 10^{-3}$	150	70	40	30	490	200	20

	25	31	40	-50	63	80	100
	0,71	0,18	0,13	0,13	0,17	0,11	0,11
	4,5	0,9	0,64	0,4	0,43	0,22	0,18
	30	4,7	2,5	1,3	1,1	0,44	0,28

	125	160	200	250	315	400	500	...
	0,18	0,14	0,14	0,18	0,16	0,19	0,45	...
	0,23	0,14	0,11	0,12	0,08	0,08	0,14	...
	0,29	0,14	0,09	0,07	0,04	0,03	0,05	...

$\frac{a}{[\text{m s}^2]}$

Obr. 3



Podrobnejšou analýzou sa zistilo, že hodnoty zrychlení, rýchlosť a výkyviek nadobúdajú extrémne velkosti v dvoch pre každú plošinu rozdielnych frekvenčných pásmach prakticky vo

všetkých bodoch merania na technologickom zariadení i na nosných prvkoch. Prvé frekvenčné pásmo s extrémnymi hodnotami je zhodné s budiacou frekvenciou nevývažkov rotora mlyna resp. drviča. Druhé súvisí s rezonančnými javmi, ktoré ovplyvňuje tuhosť nosných prvkov, spôsob uloženia agregátov a konfigurácia hmotností na plošine. Kladivový mlyn (drvič) vykazuje vplyvom opotrebenia kladív rastúcu nevyváženosť a tým aj rast extrémnych hodnôt charakteristik vybrácií. Na plošine + 4 600 mm na ktorej je uložený dynamický vibráčny triedič je situácia odlišná. Pracovný kmitočet triediča je 16 Hz a maximálna amplitúda 3,1 mm. Tento triedič je uložený na pružnom podklade (na systéme pružín, ktoré dodáva výrobca spolu s triedičom). Meraním sa zistilo, že vlastný triedič nieje príčinou nadmerných vibrácií. Základný vplyv má kladivový mlyn, ktorý je uložený o jedno podlažie nižšie (na kóte + 2 100 mm). Merania súčasne potvrdili, že pôvodný výpočet nosných plošín nevychádzal všeobecne zo správneho matematického modelu. Rýchlosťi a zrýchlenia vibrácií takmer vo všetkých meraných bodoch v pásmach frekvencií s extrémnymi hodnotami vysoko prekračovali hodnoty ktoré pripúšťa norma ČSN 73 0032.

4 Záver

Dynamické účinky strojného technologického zariadenia použitého na spracovanie mastenca mali za následok extrémne hodnoty vibrácií pôvodnej ocelovej konštrukcie, ktoré vysoko prekračovali prípustné hodnoty určené ČSN 73 0032. Na požiadanie investora sme spracovali podrobnej analýzy: príčin tohto stavu a navrhli sme rekonštrukciu uloženia technológie na samostatné nosné konštrukcie zakotvené do samostatných základov s použitím vibroizolačných dosiek. Doporučili sme ďalej aby nadväzné technologické zariadenia (sklzy, potrubia atď.) sa pripojili prostredníctvom pružných podložiek, ktoré majú zabrániť šíreniu vibrácií. V súčasnosti (február 1989) sú už spracované výpočty a nové projekty podľa tejto koncepcie a na objekte sa začali rekonštrukčné práce.

LITERATÚRA

- [1] Hörmann, J. a kol.: Analýza nadmerných vibrácií ocelovej konštrukcie výrobného objektu TALCUM. Výskumná správa č.HZ 19/88, EF SVST Bratislava 1988.
- [2] ČSN 73 0032 : Výpočet stavebných konštrukcií zatažených dynamickými účinkami strojov.